### 梅花鹿茸Ⅰ型胶原对破骨细胞的影响及其分子机制

王艳双<sup>1,2</sup>, 罗 速<sup>2\*</sup>, 张大方<sup>1\*</sup>, 曲晓波<sup>1\*</sup>, 王秀丽<sup>2</sup>, 谭寅凤<sup>2</sup>, 李 枫<sup>2</sup>

- 1. 长春中医药大学, 吉林 长春 130117
- 2. 北华大学, 吉林 吉林 132013

摘 要:目的 探讨梅花鹿茸 I 型胶原(SPC-I)对破骨细胞的影响及其分子机制。方法 采用全骨髓细胞诱导法培养破骨细胞、成骨细胞。设对照组(给予完全培养液)、诱导组(给予高糖-DMEM 诱导液)、SPC-I(2.5、5、10 g/L)组,除对照组外,其他组给予含核因子- $\kappa$ B 受体活化因子配体(RANKL)、巨噬细胞集落刺激因子(M-CSF)各 40 ng/mL 的高糖-DMEM 诱导液,条件培养 7 d,每隔 3 天更换培养液补足药物质量浓度。经 HE 染色、抗酒石酸盐性磷酸酶(TRAP)染色,倒置显微镜下观察细胞形态;分光光度计检测 TRAP 活性,RT-PCR 法检测 TRAP、核因子- $\kappa$ B 受体活化因子(RANK)、RANKL、骨保护素(OPG)基因的表达,Western blotting 法检测 RANK 蛋白的表达。结果 与破骨细胞组比较,SPC-I 5、10 g/L 组 TRAP 阳性细胞减少,TRAP 活性降低,TRAP、RANK、RANKL基因的表达及 RANK 蛋白的表达下调(P<0.01);与对照组比较,质量浓度 2.5、10 g/L 组 OPG 基因表达上调,RANKL/OPG 的值减小(P<0.01),2.5 g/L 质量浓度组的作用不显著。结论 SPC-I 对破骨细胞的生成及分化具有抑制作用,该作用通过 RANKL/OPG 信号转导途径调控 TRAP 基因、RANK 基因的表达实现的。

关键词:梅花鹿茸 I 型胶原;破骨细胞;成骨细胞;抗酒石酸盐性磷酸酶;核因子-κB 受体活化因子;RANKL/OPG 信号通路中图分类号:R282.710.5 文献标志码:Α 文章编号:0253 - 2670(2013)24 - 3503 - 07

**DOI:** 10.7501/j.issn.0253-2670.2013.24.014

# Effects of sika pilose antler type I collagen on osteoclast and its molecular mechanism

WANG Yan-shuang<sup>1, 2</sup>, LUO Su<sup>2</sup>, ZHANG Da-fang<sup>1</sup>, QU Xiao-bo<sup>1</sup>, WANG Xiu-li<sup>2</sup>, TAN Yin-feng<sup>2</sup>, LI Feng<sup>2</sup>

- 1. Changchun University of Traditional Chinese Medicine, Changchun 130117, China
- 2. Beihua University, Jilin 132013, China

**Abstract: Objective** To explore the effect of sika pilose antler type I collagen (SPC-I) on osteoclast and its molecular mechanism. **Methods** The osteoclasts and osteoblasts were cultured by the induction method of whole bone marrow cells. The control (with full medium), osteoclasts (with HG-DMEM inducing medium), and SPC-I (2.5, 5, and 10 g/L) groups were set up. Except the control group, others were given the HG-DMEM inducing medium with each 40 ng/mL of both RANKL and macrophage colony-stimulating factor (M-CSF), then conditioned cultured for 7 d, every other 3 d to replace medium for the complement of the drug concentration. By HE and tartrate-resistant acid phosphatase (TRAP) stainings, the cell morphology was observed under inverted microscope. The TRAP activity was detected using spectrophotometer, the gene expression of TRAP, receptor activator of NF-κB (RANK), receptor activator of NF-κB ligand (RANKL), and osteoprotegerin (OPG) was measured by RT-PCR, and the RANK protein expression was detected by Western blotting. **Results** Compared with the osteoclast group, SPC-I (5 and 10 g/L) groups could make TRAP positive cells and TRAP activity decreased, TRAP, RANK, and RANKL expression in gene level reduced, and RANK expression in protein level down-regulated also (*P* < 0.01); Compared with the control group, SPC-I (2.5 and 10 g/L) could make the OPG expression in gene level increased and the RANKL/OPG ratio declined (*P* < 0.01). The effect of 5 g/L SPC-I was the most significant (*P* < 0.01). The effect of implementation is through RANKL/OPG signal transduction pathway to regulate the expression of TRAP and RANK genes.

**Key words**: sika pilose antler type I collagen; osteoclasts; osteoblasts; tartrate-resistant acid phosphatase; receptor activator of NF-κB; RANKL/OPG signal transduction pathway

收稿日期: 2013-05-30

基金项目: 国家自然科学基金资助项目(81073158)

作者简介: 王艳双 (1971—), 女, 吉林人, 讲师, 在读博士, 研究方向为中药开发及分子药理。E-mail: yanshuang2006@sohu.com

\*通信作者 罗 速 Tel: 18604499969 张大方 Tel: 13843135879 曲晓波 Tel: 13804338605 正常骨组织代谢是一个动态的骨重建平衡,其过程包括破骨细胞黏附在旧骨区域,分泌酸性物质溶解矿物质,分泌蛋白酶消化骨基质,形成骨吸收陷窝;其后成骨细胞移行至被吸收部位,分泌骨基质,骨基质矿化而形成新骨。骨吸收与骨形成过程的平衡是维持正常骨量的关键。如果这一平衡被打破,导致骨形成的速度降低或骨吸收大于骨形成,进而引起骨量丢失,这是骨质疏松症发病的基本病理机制。

破骨细胞来源于骨髓造血干细胞,在破骨细胞分化因子核因子-κB受体活化因子配体(RANKL)、巨噬细胞集落刺激因子(M-CSF)两种关键因子的诱导下形成,是唯一有骨吸收功能的细胞,对维持骨量稳态、防治骨质疏松起关键作用<sup>[1]</sup>。破骨细胞主要受成骨细胞/骨髓基质干细胞的间接调控,表达核因子-κB 受体活化因子(RANK)的破骨前体细胞和表达RANKL、骨保护素(OPG,RANKL 受体)的成骨细胞/骨髓基质干细胞之间的相互作用对于破骨细胞的生成很重要。

鹿茸具有强筋壮骨的确切疗效,其含量最多的蛋白是胶原。梅花鹿茸 I 型胶原 (SPC-I) 具有诱导骨髓基质干细胞向成骨细胞分化的作用,但 SPC-I 对破骨细胞的作用及其分子机制研究鲜见报道,本研究主要考察 SPC-I 对破骨细胞形态及相关基因表达的影响,为临床抗骨质疏松的治疗提供新的分子靶点,为鹿茸应用于临床治疗骨质疏松提供依据。

#### 1 材料

#### 1.1 药品与试剂

SPC-I(相对分子质量 3.1×10<sup>4</sup>,质量分数 56.89%),长春中医药大学;高糖-DMEM (HG-DMEM)培养基,美国 Gibco 公司;胎牛血清 (FBS),浙江天杭生物科技有限公司;M-CSF、RANKL,美国 Sigma 公司;抗酒石酸酸性磷酸酶 (TRAP)检测试剂盒,南京建成生物研究所;Trizol试剂,美国 Invitrogen 公司;引物合成、RT、PCR试剂盒,上海生物工程有限公司;兔抗大鼠 RANK抗体、辣根过氧化物酶(HRP)-抗兔免疫球蛋白 G (IgG),美国 BD 公司;β-actin 多克隆抗体,武汉博士德生物公司;Western blotting 检测用试剂,碧云天生物研究所。

#### 1.2 动物

雌性 SD 大鼠, 3 月龄, 体质量(220±10) g, 清洁级, 由吉林大学动物实验中心提供, 合格证号: SCXK(吉)2011-0004。

#### 1.3 仪器

CO<sub>2</sub>培养箱,日本 Shellab 公司;生物洁净安全柜,苏州净化设备有限公司;酶标仪、PCR 仪、全自动数字凝胶成像仪、湿式转膜槽,美国 BIO-RDA公司;倒置显微镜,日本 Olympus 公司;722 分光光度计,上海隆拓仪器设备有限公司。

#### 2 方法

#### 2.1 破骨细胞诱导培养

采用全骨髓细胞诱导培养法<sup>[9]</sup>。取 SD 大鼠 10 只,无水乙醚处死,75%乙醇浸泡 10 min,相对无菌环境下切取双侧股骨,去除附着的肌肉和筋膜,75%乙醇浸泡 1 min,移入超净台,剪掉两端干骺端暴露骨髓腔,用注射器抽取无菌磷酸盐缓冲液(PBS)反复冲洗骨髓腔。冲出的骨髓细胞 1 000 r/min 离心 5 min,弃上清,用 HG-DMEM 完全培养液(含 10% FBS,青、链霉素各 100 U/mL)接种于 25 cm² 培养瓶中,37 ℃、5% CO₂、饱和湿度条件下培养 30 min,收集培养瓶中未贴壁细胞悬液,调整细胞密度为 1×10<sup>7</sup>/mL,接种于 6 孔和 24 孔板中,用含 RANKL 和 M-CSF 各 40 ng/mL 的 HG-DMEM 诱导液诱导培养 7 d,每隔 3 天更换培养液。

#### 2.2 分组与给药

将破骨细胞分成 5 组: 对照组,只加 HG-DMEM 完全培养液; 诱导组,只加 HG-DMEM 诱导液(含 RANKL、M-CSF 各 40 ng/mL 的诱导液); SPC-I组,在 HG-DMEM 诱导液存在情况下,分别给予 SPC-I 2.5、5、10 g/L。调整细胞密度为  $1 \times 10^7$ /mL,接种于 6 孔和 24 孔板中,每组 3 个复孔,37 °C、5%  $CO_2$ 、饱和湿度条件下培养 7 d,每隔 3 天更换培养液并补足药物质量浓度。

#### 2.3 HE 染色法观察破骨细胞形态

破骨细胞按"2.2"项下方法处理,24孔板诱导培养,HE染色,分别在第3、4、5、7天倒置显微镜下(×200)观察细胞形态学变化。

#### 2.4 对破骨细胞计数和 TRAP 活性的影响

破骨细胞按"2.2"项下方法处理,24孔板中诱导培养第7天,行TRAP染色。镜下观察,TRAP阳性部位呈红色颗粒样沉淀,分布于全部或大部分胞浆,细胞核呈阴性,有3个及3个以上细胞核的细胞为破骨细胞。每孔随机取3个视野(×200),取均数作为该孔TRAP染色阳性的破骨细胞数。

分别在细胞培养第5、7天,收集上清,分光光

度计检测 530 nm 处吸光度 (A) 值,按试剂盒说明计算 TRAP 活性。

#### 2.5 对破骨细胞 TRAP 和 RANK 基因表达的影响

破骨细胞按"2.2"项下方法处理。6孔板中诱 导培养第7天,采用 Trizol 试剂分别提取细胞总 RNA,进行完整性鉴定后按照 RT-PCR 试剂盒检测 基因表达。引物序列: TRAP (220 bp) 正向引物 5'-AGCAGCCAAGGAGGACTACGTT-3', 反向引 物 5'-TCGTTGATGTCGCACAGAGG-3': RANK (181 bp) 正向引物 5'-CGAGTGAGGAAGGAG-TGAGTG-3', 反向引物 5'-AAGAGGAAGGGAAT-GTGATG-3'; 内参甘油醛-3-磷酸脱氢酶(G3PDH) (370 bp) 正向引物 5'-TGAACGGGAAGCTCA-CTGG-3', 反向引物 5'-TCCACCACCCTGTTG-CTGTA-3'。PCR 结束后, 2%琼脂糖凝胶电泳 [0.5×Tris-硼酸 (TBE), 100 V, 20~30 min], 以 数字凝胶成像仪保存图像并用 Quantity One 软件 扫描吸光度,以所扩增特定产物与管家基因扩增产 物的吸光度比值表示基因表达水平。

#### 2.6 对破骨细胞 RANK 蛋白表达的影响

破骨细胞按 "2.2" 项下方法处理。6 孔板中诱导培养第 7 天,用 Western blotting IP 裂解液裂解细胞,提取细胞蛋白质;用 BCA 蛋白浓度测定试剂盒测定蛋白的量;取 40 μg 蛋白样品,与 5×蛋白上样缓冲液混匀,100 ℃煮沸 5 min,用 SDS-PAGE电泳分离蛋白质(5%分离胶约 1.5 h,12%积层胶约4.5 h)。电泳结束后立即取下凝胶,在转膜液中平衡约 30 min,制作"阴极-3 层滤纸-凝胶-薄膜-3 层滤纸-阳极"的"三明治",30 V、转膜过夜;次日取下薄膜封闭,洗涤后加一抗(1:200 稀释)孵育,洗涤后加入DAB显色液(A 液-B 液,1:1),约 3~5 min 出现棕色条带。数码相机拍照,Image J 2X 软件进行分析,将特定蛋白与 β-actin 蛋白的吸光度比值表示蛋白表达水平。

#### 2.7 对成骨细胞 RANKL 和 OPG 基因表达的影响

取对数生长期的第 2 代骨髓基质干细胞 (BMSCs),消化、重悬、计数,以  $2.5\times10^4$ /孔的 密度接种于 6 孔培养板中,每组 3 个复孔。实验分成 5 组:对照组(给予含 β-甘油磷酸钠 10 mmol/L、L-抗坏血酸 50 g/L 的矿化液),地塞米松组(β-甘油磷酸钠 10 mmol/L+L-抗坏血酸 50 g/L+地塞米松 10 nmol/L),SPC-I 组 [(β-甘油磷酸钠 10 mmol/L+L-

抗坏血酸 50 g/L+SPC-I(2.5、5、10 g/L)]。细胞接种 24 h 后,各组更换条件培养液,此后每 3 天换液 1 次,连续培养 9 d,采用 Trizol 试剂提取细胞总RNA,并检测其完整性,按照 RT-PCR 试剂盒检测基因的表达。引物序列:RANKL(149 bp)正向引物 5'-CACCATCAGCTGAAGATAGT-3',反向引物5'-CCAAGATCTCATACATGACG-3'; OPG(106 bp)正向引物 5'-CTCATCAGTTGGTGGGAATGAAGA-3',反向引物 5'-ACCTGGCAGCTTTGCACAATTA-3'; G3PDH 基因序列同"2.5"项。PCR结束后,电泳及结果分析同"2.5"项。

#### 2.8 统计学分析

每项实验均重复 3 次,所得数据均以 $\bar{x} \pm s$ 表示,采用 SPSS v 16.0 软件进行统计学分析,组间比较采用双侧 t 检验。

#### 3 结果

#### 3.1 对破骨细胞形态的影响

3.1.1 HE 染色 倒置显微镜下观察正常破骨细胞的动态形成过程,并行 HE 染色,单核细胞逐渐汇聚,融合成多核的破骨细胞,胞核染色明显呈蓝色(图 1)。刚收集的骨髓造血干细胞大小均一,呈圆形,悬浮生长,随着培养液的晃动而移动。3 d 换液后可见单核细胞量居多,细胞突起互相连接,细胞间隔逐渐模糊,有互相趋化融合的迹象;培养 5 d时细胞融合现象明显,出现多个胞核的破骨细胞;培养 7 d 时多个胞核的破骨细胞数量达峰值,细胞呈不规则形,胞体较大,胞核 3~20 个不等,质膜边缘不整,周边可见伸展的伪足。

3.1.2 TRAP 染色 特异的破骨细胞, 胞浆 TRAP 活性部位内呈紫红色阳性反应, 可见均匀的酒红色 颗粒沉淀, 胞浆可见吞饮空泡; 细胞核阴性; 胞体 煎蛋状、漏斗状、索条状等不规则形, 周边可见伪足。见图 2。

#### 3.2 对破骨细胞计数和 TRAP 活性的影响

与诱导组比较,SPC-I 2.5 g/L 组 TRAP 阳性破骨细胞的数量无显著变化,而 SPC-I 5、10 g/L 组 TRAP 阳性破骨细胞的数量显著减少(P<0.01),其中 SPC-I 5 g/L 的作用更为显著。结果见图 3。

与诱导组比较, SPC-I 2.5 g/L 组 TRAP 活性无显著改变,表明此质量浓度对破骨细胞生成及分化无显著影响; SPC-I 5、10 g/L 组 TRAP 活性显著降低(P<0.01),表明此质量浓度具有抑制破骨细胞生成及分化的作用,与镜下观察结果一致。结果见图 4。

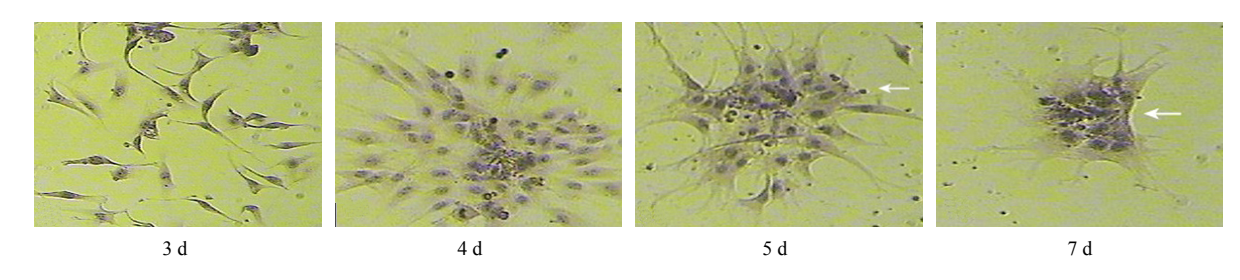


图 1 正常破骨细胞 HE 染色观察

Fig. 1 Observation on normal osteoclast by HE staining

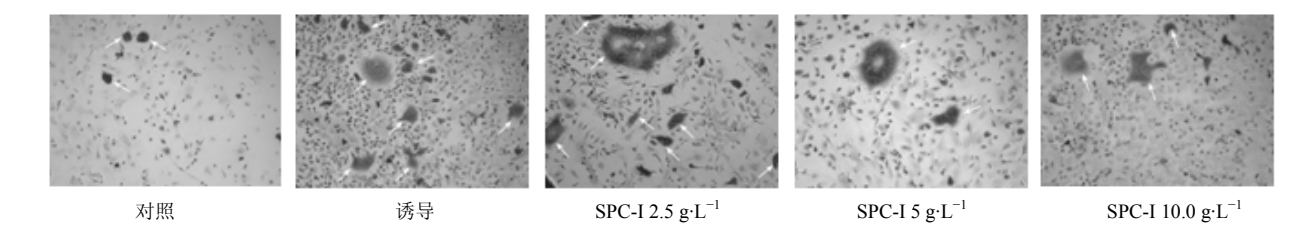
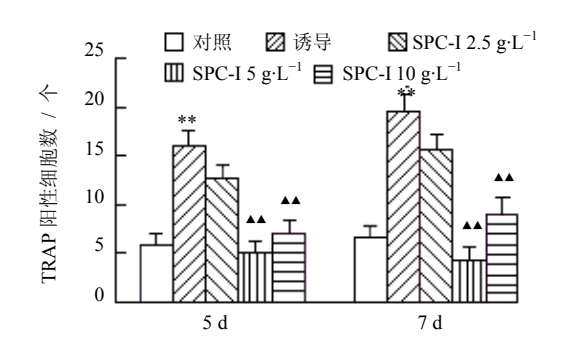


图 2 各组破骨细胞形态 TRAP 染色观察

Fig. 2 Observation on osteoclast morphology in each group by TRAP staining



与对照组比较: \*\*P<0.01; 与诱导组比较:  $^{\blacktriangle}P$ <0.01, 下同 \*\*P<0.01 vs control group;  $^{\blacktriangle}P$ <0.01 vs induced group, same as below

### 图 3 SPC-I 对 TRAP 阳性细胞数的影响 $(\overline{x} \pm s, n = 3)$ Fig. 3 Effect of SPC-I on TRAP positive cell numbers $(\overline{x} \pm s, n = 3)$

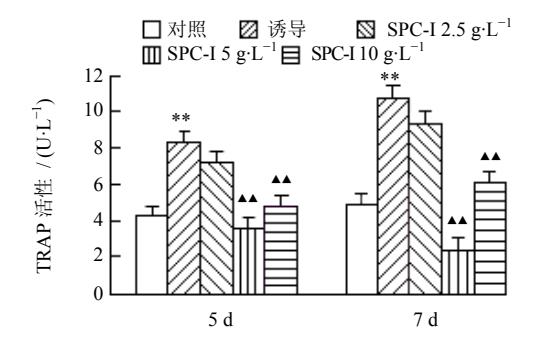


图 4 SPC-I 对 TRAP 活性的影响  $(\overline{x} \pm s, n = 3)$ Fig. 4 Effect of SPC-I on TRAP activity  $(\overline{x} \pm s, n = 3)$ 

## 3.3 对破骨细胞 TRAP 和 RANK 基因表达的影响 RT-PCR 检测结果显示,与诱导组比较,

SPC-I2.5 g/L 组 TRAP、RANK 基因的表达无显著变化,5、10 g/L 组 TRAP、RANK 基因的表达显著下调(P<0.01); 5 g/L 组的作用更加显著,表明 SPC-I 抑制破骨细胞的分化机制之一是通过调控 TRAP、RANK 基因的表达实现的。结果见图 5。

#### 3.4 对破骨细胞 RANK 蛋白表达的影响

Western blotting 检测结果显示,与诱导组比较, SPC-I 2.5 g/L 组 RANK 蛋白的表达无显著变化,5 g/L 组 RANK 蛋白的表达显著下调(P<0.01);10 g/L 组 RANK 蛋白表达也显著低于诱导组。进一步表明 SPC-I 抑制破骨细胞的生成及分化与通过调控 RANK 基因的表达有关。结果见图 6。

#### 3.5 对成骨细胞 RANKL 和 OPG 的影响

RT-PCR 检测结果显示,各组 RANKL 基因表达不同程度地下调,与对照组比较差异显著(P<0.01)。与对照组比较,SPC-I 2.5 g/L 组 OPG 基因表达显著下调(P<0.01),SPC-I 5 g/L 组、地塞米松组能够明显促进 OPG 基因的表达(P<0.01),10 g/L 组与对照组 OPG 基因表达无显著差异。与对照组比较,地塞米松组,SPC-I 5、10 g/L 组RANKL/OPG的值明显降低(P<0.01),SPC-I 2.5 g/L 组 RANKL/OPG 的值与对照组相比无显著差异(P>0.05)。结果见图 7。

破骨细胞是高度分化的多核巨细胞,来源于骨髓造血干细胞,其不是通过有丝或无丝分裂来增殖,

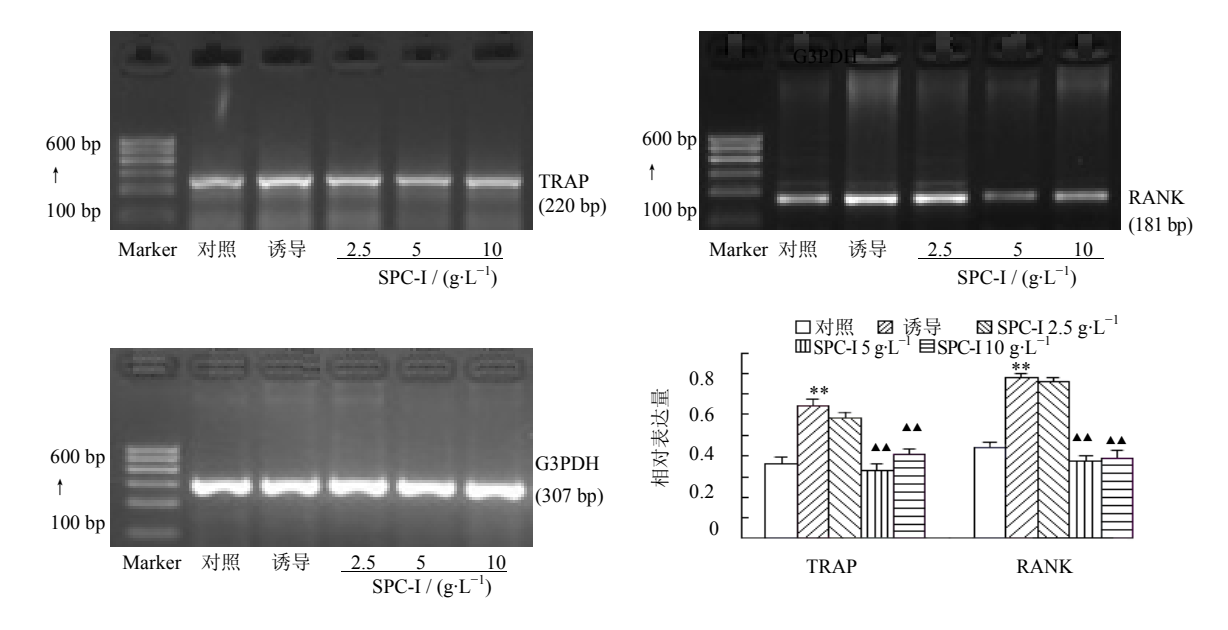


图 5 SPC-I 对 TRAP、RANK 基因表达的影响  $(\overline{x}\pm s, n=3)$ Fig. 5 Effects of SPC-I on expression of TRAP and RANK genes  $(\overline{x}\pm s, n=3)$ 

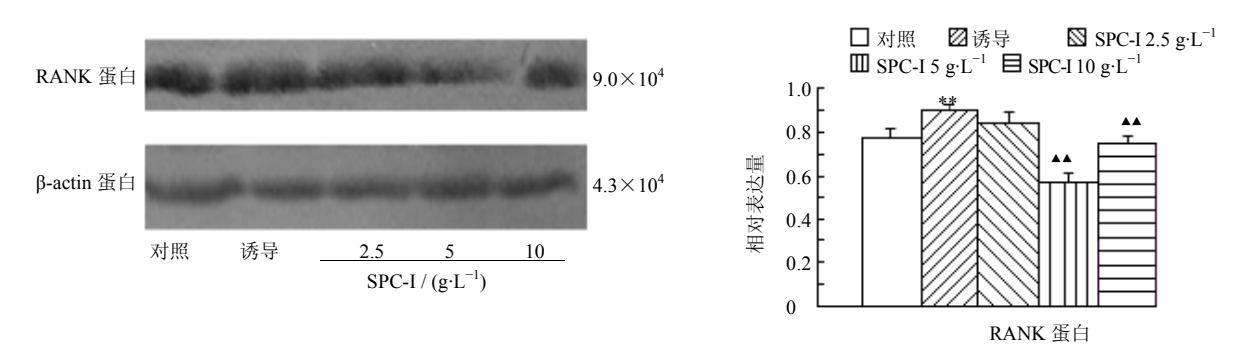


图 6 SPC-I 对 RANK 蛋白表达的影响  $(\overline{x} \pm s, n = 3)$ Fig. 6 Effect of SPC-I on expression of RANK protein  $(\overline{x} \pm s, n = 3)$ 

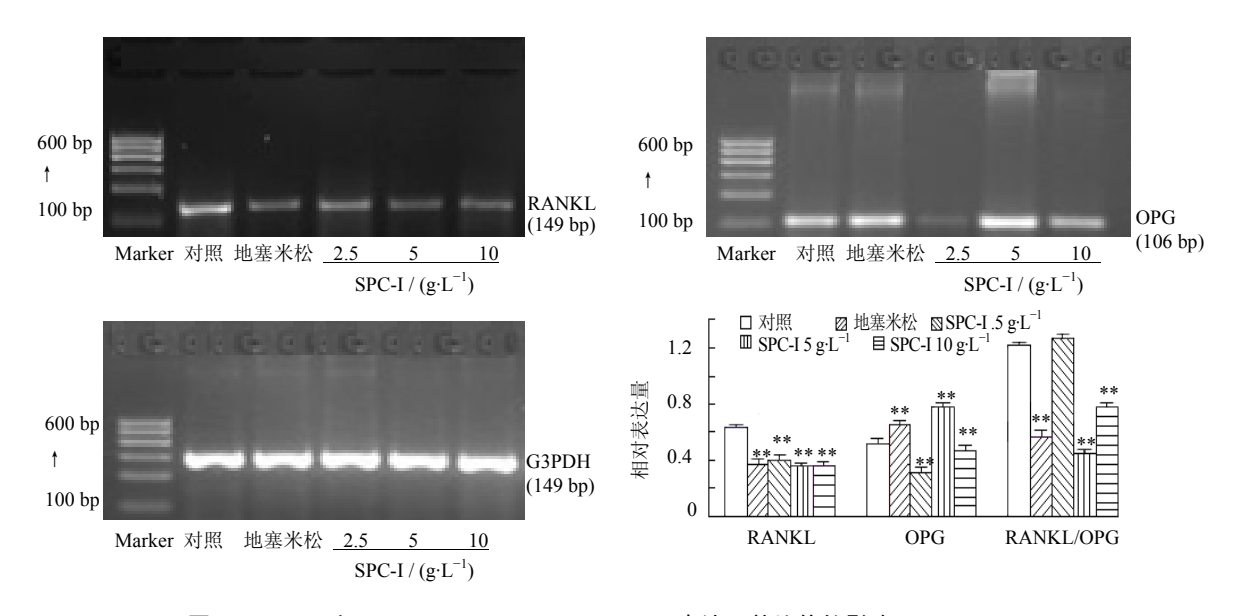


图 7 SPC-I 对 RANKL mRNA、OPG mRNA 表达及其比值的影响  $(\bar{x} \pm s, n = 3)$  Fig. 7 Effects of SPC-I on expression of RANKL and OPG genes and their ratios  $(\bar{x} \pm s, n = 3)$ 

而是通过血源性单核巨噬细胞融合而成, 属于终末 细胞[2]。破骨细胞不能传代,且生命周期短暂,难 以获得足够数量的高纯度, 所以体外培养较困难。 RANKL 和 M-CSF 是刺激破骨前体细胞融合和向成 熟破骨细胞分化的关键细胞因子[3]。本实验采用体 外全骨髓细胞诱导培养法<sup>[4]</sup>,利用 RANKL 与 M-CSF, 共同诱导全骨髓细胞分化形成破骨细胞。 破骨细胞含有丰富的酸性磷酸酶 (ACP), 但 ACP 并非破骨细胞所特有,成骨细胞也含有少量 ACP<sup>[5]</sup>。 TRAP 是 ACP 同工酶之一,则为破骨细胞所特有, 被认为是破骨细胞的标志酶,因此 TRAP 染色被广 泛用于破骨细胞鉴定<sup>[6]</sup>。本实验综合 HE 染色及 TRAP 特异性染色证实,采用全骨髓细胞培养法诱 导获得破骨细胞,与文献报道相符[7-8]。本实验结果 表明, SPC-I 具有抑制破骨细胞生成、分化的作用, 且 5 g/L 组的作用最为显著。破骨细胞前体及成熟 的破骨细胞均表达膜表面受体 RANK, RANK 基因 表达的多少在一定程度上反应破骨细胞前体向破骨 细胞分化的潜能,本实验对 RANK 基因和蛋白检测 的结果与上述理论是一致的。SPC-I 5 g/L 通过调控 TRAP、RANK 基因的表达,实现对破骨细胞生成、 分化及其成熟的抑制,这是其作用的重要分子机制

破骨细胞的分化、成熟主要受成骨细胞或 BMSCs 的间接调控,许多对破骨细胞起重要作用的 分子都是通过调节 OB/BMSCs 中 RANKL、OPG 等 的表达来控制破骨细胞的分化与激活[9]。 OB/BMSCs 表达 RANKL 为破骨细胞分化刺激因 子。破骨细胞前体及成熟的破骨细胞均表达膜表面 受体 RANK, RANK 是 RANKL 刺激破骨细胞分化、 生存与融合和活化的唯一靶受体,一旦受 RANKL 刺激就会启动细胞内信号,引起级联瀑布反应,可 启动破骨细胞分化、成熟及调节成熟破骨细胞的骨 吸收<sup>[10]</sup>。但 OB/BMSCs 还表达 OPG, OPG 为破骨 细胞分化抑制因子,一方面可促进破骨细胞凋亡, 另一方面作为诱饵受体与 RANK 竞争性结合 RANKL,可阻断上述信息的传递,抑制破骨细胞的 分化、成熟<sup>[11]</sup>。RANKL/OPG 值的升高是破骨细胞 生成、分化与成熟的直接原因,因此 RANKL/ OPG 是破骨细胞生成、活化的关键,也是骨吸收与骨形 成保持动态平衡的关键[1]。OPG 对 RANKL 的竞争 结合能力比 RANK 更强, 高表达的 OPG 与 RANKL 相结合,阻断 RANKL 与破骨细胞表达的 RANK 相

结合,从而阻断骨吸收信号的传递,抑制破骨细胞的生成、分化与成熟,进而抑制骨吸收。本实验结果表明 SPC-I 5 g/L 组 OPG 基因表达量最高,即其诱导成骨能力最强,并能增加成骨细胞的分泌功能,可使破骨细胞分化刺激因子 RANKL 基因的表达下降最明显,使得 RANKL/OPG 的值明显降低。

RANKL/RANK/OPG 系统是目前己知的将成骨细胞系与破骨细胞系紧密联系的纽带<sup>[12]</sup>,因此破骨细胞的生成、分化与成熟受成骨细胞的间接调控,是通过 OPG/RANKL/RANK 信号传导途径实现的<sup>[13-14]</sup>。本实验研究结果表明,SPC-I 5 g/L 组通过促进BMSCs 向成骨细胞分化,促进骨的合成;通过下调RANKL/OPG 的值和调节 OPG/ RANKL/RANK 信号转导途径,抑制 TRAP、RANK 基因的表达,进而抑制破骨细胞的生成、分化与成熟,抑制骨的吸收,使得成骨细胞的骨形成与破骨细胞的骨吸收达到一个动态的平衡,维持骨量的稳态,因此 SPC-I有望成为抗骨质疏松的新药。

#### 参考文献

- [1] Hofbauer L C, Schoppet M. Clinical implications of the osteoprotegerin/RANKL/RANK system for bone and vascular diseases [J]. *JAMA*, 2004, 292(4): 490-495.
- [2] Atanga E, Bolder S, Dauwalder T. TNF-α inhibits the development of osteoclasts through osteoblast-derived GM-CSF [J]. Bone, 2011, 49(5): 1090-1100.
- [3] Sugatani T, Hruska K A. Impaired miero-RNA pathways diminish osteoclast differentiation and function [J]. *Biol Chem*, 2009, 284(7): 4667-4678.
- [4] Kaufinan P L, Bito L Z. The occurrence of senile cataracts ocular hypertension and glaucoma in rhesus monkeys [J]. *Exp Eye Res*, 1982, 34(2): 287-291.
- [5] Hayman A R, BuneA J, Bradley J R, et al. Osteoclastic tartrate-resistant acid phosphatase (Aep5): its localization to dendritic cells and diverse marine tissues [J]. J Histochem Cytochem, 2000, 48(2): 219-228.
- [6] Halleen J M, Raisanen S R, Alatalo S L, et al. Potential function for the ROS-generating activity of TRAP [J]. J Bone Miner Res, 2003, 18(10): 1908-1911.
- [7] Matsuzaki K, Udagawa N, Takahashi N, et al. Osteoclast differentiation factor (ODF) induces osteoclast-like cell formation in human peripheral blood mononuclear cell cultures [J]. Biochem Biophys Res Commun, 1998, 246(1): 199-204.
- [8] 郭子杰,奕文民,于世凤,等.破骨细胞分化因子诱导小鼠骨髓细胞形成破骨细胞的实验研究 [J]. 华西口腔 医学杂志, 2002, 20(6): 445-458.

- [9] Yeh L C, Ma X, Matheny R W, et al. Protein kinase D mediates the synergistic effects of BMP-7 and IGF-I on osteoblastic cell differentiation [J]. Growth Factors, 2010, 28(5): 318-328.
- [10] Schramck D, Leibbrandt A, Sig V, et al. Osteoclast differentiation factor RANKL controls development of progestin-driven mammary cancer [J]. Nature, 2010, 468(7320): 98-102.
- [11] Simonet W S, Lacey D L, Dunstan C R, *et al.* Osteoprotegerin: a novel secreted protein involved in the regulation of bone density [J]. *Cell*, 1997, 89(2): 309-319.
- [12] 陈良娇, 兰泽栋, 陈建明. rhIL-lα 与 l, 25-(OH)2D3 对人 牙周膜成纤维细胞表达 RANKL 和 OPG 的影响 [D]. 福建: 福建医科大学, 2010.
- [13] Akiyama T, Dass C R, Shinoda Y, *et al.* PEDF regulates osteoclasts via osteoprotegerin and RANKL [J]. *Biochem Biophys Res Commun*, 2010, 391(1): 789-794.
- [14] Markus C, Kuhn A, Holger S, et al. Scherbaum a, Sven Schinner a Adipocyte-secreted factors increase osteoblast proliferation and the OPG/RANKL ratio to influence osteoclast formation molecular and cellular [J]. Endocrinology, 2012, 34(9): 180-188.